

Algoritmos para Multiplicação Matricial

Murilo Stellfeld de Oliveira Poloi
Prof. Thiago de Oliveira Quinelato

6 de setembro de 2023

1 Introdução

O objetivo deste artigo é estudar algoritmos que computam o produto entre duas matrizes, mais especificamente utilizando os métodos ingênuo, de *Strassen* e de *Strassen-Winograd*, que serão apresentados na Seção 2.

Atualmente, os métodos citados não são os mais otimizados considerando a complexidade aritmética de seus algoritmos (vide Tabela 1). No entanto, serão expostas modificações dos métodos de *Strassen* e *Strassen-Winograd* que conseguem reduzir sua alocação de memória e/ou tempo de execução.

Os algoritmos do problema em estudo foram implementados utilizando a linguagem de programação *Julia*, na versão 1.9.1, com o auxílio dos pacotes *Pluto* (*notebooks*), *Plots* (visualização gráfica dos resultados) e *BenchmarkTools* (medição de alocação de memória e tempo de execução dos algoritmos).

Autoria	Ano	$\omega \leq$
Strassen [14]	1969	2,8074
Pan [10]	1978	2,796
Bini et al. [2]	1979	2,780
Schönhage [11]	1981	2,522
Strassen [13]	1986	2,479
Coppersmith e Winograd [5]	1990	2,3755
Stothers [12]	2010	2,3737
Williams [17]	2013	2,3729
Le Gall [9]	2014	2,3728639
Alman e Williams [1]	2020	2,3728596
Duan et al. [6]	2022	2,37188

Tabela 1: Evolução da complexidade aritmética dos algoritmos de multiplicação de matrizes dada por $\mathcal{O}(n^\omega)$, onde $n \in \mathbb{N}$ denota a ordem das matrizes. Fonte: Wikipedia [15].

2 Fundamentação Teórica

Nesta seção serão apresentados os conceitos teóricos dos algoritmos mencionados na introdução, assim como formas de implementá-los de maneira básica, isto é, sem modificações de suas formas originais.

Para o caso do método ingênuo, será apresentado o Algoritmo 1, enquanto que para os métodos de *Strassen* e *Strassen-Winograd* serão apresentados os Algoritmos 2 e 3.

Para os últimos dois, será utilizada a estratégia de *Divide and Conquer*, isto é, dividir o problema original em subproblemas de maneira recursiva.

2.1 Método ingênuo

A computação do produto entre matrizes de maneira ingênua é similar à maneira usual que se multiplicam duas matrizes: dadas matrizes $A_{m \times n}$ e $B_{n \times k}$, as entradas da matriz $C = A \times B$ são obtidas da seguinte forma:

$$c_{ij} = \sum_{p=1}^n a_{ip} b_{pj}, \text{ com } i = 1, \dots, m \text{ e } j = 1, \dots, k.$$

A implementação do método ingênuo pode ser observada no Algoritmo 1.

Algoritmo 1 Método ingênuo de calcular o produto entre as matrizes $A_{m \times n}$ e $B_{n \times k}$.

```

function NAIVE(A, B)
    C ← zeros(m, k)
    for i = 1 : m do
        for j = 1 : k do
            soma ← 0
            for k = 1 : n do
                soma ← soma + A[i, k] × B[k, j]
            end for
            C[i, j] ← soma
        end for
    end for
    return C
end function

```

A complexidade aritmética do algoritmo é dada por $\mathcal{O}(mnk)$, que pode ser generalizada para $\mathcal{O}(n^3)$ ao considerar que as matrizes de entrada são $A, B \in \mathbb{R}^{n \times n}$.

2.2 Método de Strassen

O método de Strassen [14] baseia-se na pré-computação de produtos que são utilizados posteriormente para calcular as componentes da matriz resultante do produto das matrizes de entrada. Para o caso de $A, B \in \mathbb{R}^{2 \times 2}$, o método de *Strassen* pode ser descrito em três passos:

- Primeiramente calculam-se sete produtos com os elementos das matrizes A e B :

$$\begin{aligned}
 P1 &:= (A_{11} + A_{22})(B_{11} + B_{22}); \\
 P2 &:= (A_{21} + A_{22})B_{11}; \\
 P3 &:= A_{11}(B_{12} - B_{22}); \\
 P4 &:= A_{22}(-B_{11} + B_{21}); \\
 P5 &:= (A_{11} + A_{12})B_{22}; \\
 P6 &:= (-A_{11} + A_{21})(B_{11} + B_{12}); \\
 P7 &:= (A_{12} - A_{22})(B_{21} + B_{22});
 \end{aligned}$$

- Então, calculam-se as componentes da matriz resultante utilizando os sete produtos obtidos no passo anterior:

$$C_{11} := P_1 + P_4 - P_5 + P_7;$$

$$C_{12} := P_3 + P_5;$$

$$C_{21} := P_2 + P_4;$$

$$C_{22} := P_1 + P_3 - P_2 + P_6.$$

- Por fim, obtemos:

$$A \times B = C = \begin{bmatrix} C_{11} & C_{12} \\ C_{21} & C_{22} \end{bmatrix}.$$

Note que este algoritmo computa apenas multiplicações e adições.

Para o caso de $A, B \in \mathbb{R}^{2 \times 2}$, são calculadas exatamente sete multiplicações e dezoito adições, enquanto que para o caso geral, o método de *Strassen* possui uma complexidade aritmética de $\mathcal{O}(7n^{\log_2 7} - 6n^2)$ operações, considerando o produto entre matrizes de ordem 2^k , $k \in \mathbb{N}$, como descrito por Cenk e Hasan [4].

Para o caso geral do método de *Strassen*, o pseudocódigo é dado pelo Algoritmo 2.

Algoritmo 2 Método de *Strassen* para matrizes A, B de ordem 2^k , $k \in \mathbb{N}$.

```

function STRASSEN( $A, B$ )
  if  $A \in \mathbb{R}^{1 \times 1}$  then
    return  $A \times B$ 
  end if
  divida as matrizes A e B em quadrantes
  calcule  $P_1, P_2, \dots, P_7$  recursivamente
   $C_{11} \leftarrow P_1 + P_4 - P_5 + P_7$ 
   $C_{12} \leftarrow P_3 + P_5$ 
   $C_{21} \leftarrow P_2 + P_4$ 
   $C_{22} \leftarrow P_1 + P_3 - P_2 + P_6$ 
   $C \leftarrow \begin{bmatrix} C_{11} & C_{12} \\ C_{21} & C_{22} \end{bmatrix}$ 
  return  $C$ 
end function

```

2.3 Método de *Strassen-Winograd*

Também chamado de forma de *Winograd* ou variante de *Winograd*, são algoritmos que possuem quinze adições e sete multiplicações, conforme discorrido pelos autores Cenk e Hasan [4]. Serão apresentadas duas abordagens do método de *Strassen-Winograd*:

- a primeira foi descrita por Knuth [8], que computa a matriz resultante com base na seguinte relação:

$$\begin{bmatrix} a & b \\ c & d \end{bmatrix} \begin{bmatrix} A & C \\ B & D \end{bmatrix} = \begin{bmatrix} aA + bB & w + v + (a + b - c - d)D \\ w + u + d(B + C - A - D) & w + u + v \end{bmatrix},$$

em que $u = (c - a)(C - D)$, $v = (c + d)(C - A)$ e $w = aA + (c + d - a)(A + D - C)$;

- a segunda utiliza vinte e duas operações em bloco, como exposto por Boyer et al. [3], sendo elas:

- oito adições:

$$\begin{aligned}
S1 &:= A21 + A22; \\
S2 &:= S1 - A11; \\
S3 &:= A11 - A21; \\
T1 &:= B12 - B11; \\
T2 &:= B22 - T1; \\
T3 &:= B22 - B12; \\
S4 &:= A12 - S2; \\
T4 &:= T2 - B21;
\end{aligned}$$

- sete multiplicações recursivas:

$$\begin{aligned}
P1 &:= A11 \times B11; \\
P2 &:= A12 \times B21; \\
P3 &:= S4 \times B22; \\
P4 &:= A22 \times T4; \\
P5 &:= S1 \times T1; \\
P6 &:= S2 \times T2; \\
P7 &:= S3 \times T3;
\end{aligned}$$

- sete adições:

$$\begin{aligned}
U1 &:= P1 + P2; \\
U2 &:= P1 + P6; \\
U3 &:= U2 + P7; \\
U4 &:= U2 + P5; \\
U5 &:= U4 + P3; \\
U6 &:= U3 - P4; \\
U7 &:= U3 + P5;
\end{aligned}$$

- que por fim resultam na matriz C , dada por:

$$A \times B = C = \begin{bmatrix} U1 & U5 \\ U6 & U7 \end{bmatrix}.$$

O pseudocódigo para a primeira forma apresentada do método de *Strassen-Winograd* é dado pelo Algoritmo 3.

Algoritmo 3 Método de *Strassen-Winograd* para matrizes A, B de ordem $2^k, k \in \mathbb{N}$.

```
function WINOGRAD(A, B)
    if  $A \in \mathbb{R}^{1 \times 1}$  then
        return  $A \times B$ 
    end if
    divida as matrizes A e B em quadrantes
    calcule U, V e W recursivamente
    calcule  $C_{11}, C_{12}, C_{21}$  e  $C_{22}$  recursivamente
     $C \leftarrow \begin{bmatrix} C_{11} & C_{12} \\ C_{21} & C_{22} \end{bmatrix}$ 
    return C
end function
```

3 Estratégias e resultados

Todos os testes foram realizados com um processador Intel® Core™ i7-4790 CPU @ 3.60GHz e 16 GB de memória RAM. Os algoritmos utilizados estão na forma de *notebooks* do pacote *Pluto* e podem ser acessados junto das figuras geradas em:

<https://github.com/murlopoloi/matrixmultiplication>.

Considerando tempo de execução e número de alocações de memória realizadas pelos Algoritmos 1, 2 e 3, assim como o algoritmo *built-in* do *Julia* para computar o produto entre duas matrizes de ordem $2^k, k = 1, \dots, 11$, pode-se observar que ambos consumo de memória e tempo de execução dos métodos recursivos são maiores em comparação com o método ingênuo, vide Figuras 1 e 2.

A implementação do método de *Strassen-Winograd* foi a apresentada por Knuth [8] e possui uma chamada recursiva a mais em relação ao método de *Strassen*.

3.1 Tratando matrizes não-quadradas

Um dos problemas iniciais de métodos do tipo *Divide and Conquer*, como *Strassen* e *Strassen-Winograd*, é a necessidade das matrizes de entrada serem da ordem 2^k , com $k \in \mathbb{N}$. Quando isso não ocorre, podemos recorrer a uma técnica conhecida como *padding*, que consiste em adicionar linhas e/ou colunas de zeros às matrizes até obter-se o tamanho adequado para executar os métodos.

A implementação da técnica de *padding* é relativamente simples e não será um dos focos do artigo. Existem algoritmos de *padding* mais eficientes e outras abordagens para computar o produto entre matrizes não-quadradas em algoritmos que utilizam a técnica *Divide and Conquer*.

3.2 Interrompendo a recursão mais cedo

Alternativamente, também é possível trocar o bloco

```
if  $A, B \in \mathbb{R}^{1 \times 1}$  then
    return  $A \times B$ 
end if
```

dos métodos de *Strassen* e de *Strassen-Winograd* a fim de evitar que a recursão chegue até o caso em que as matrizes possuam um só elemento, isto é, $A, B \in \mathbb{R}^{1 \times 1}$.

No caso da forma de *Winograd*, por exemplo, pode-se trocar o bloco acima por bloco(s) da forma

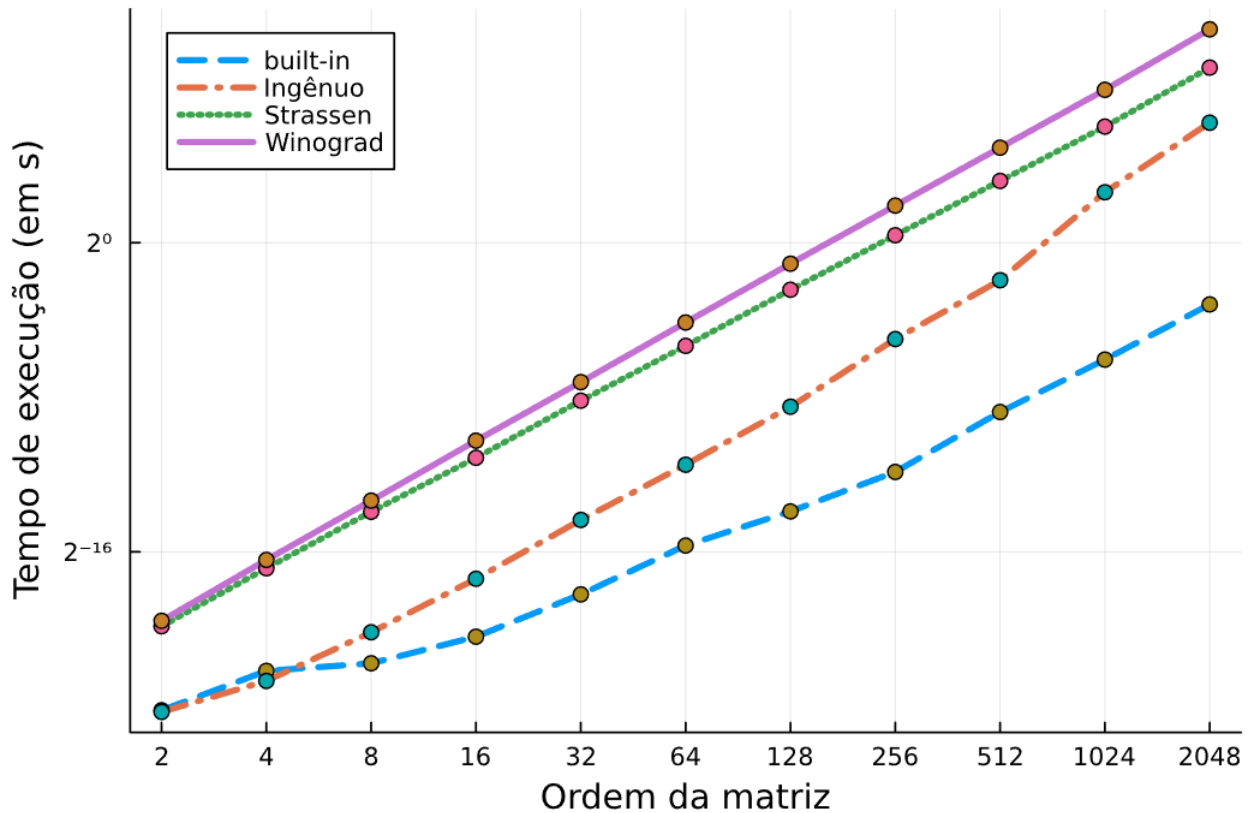


Figura 1: Tempo de execução dos algoritmos *built-in*, *Ingênuo*, *Strassen* e *Strassen-Winograd*.

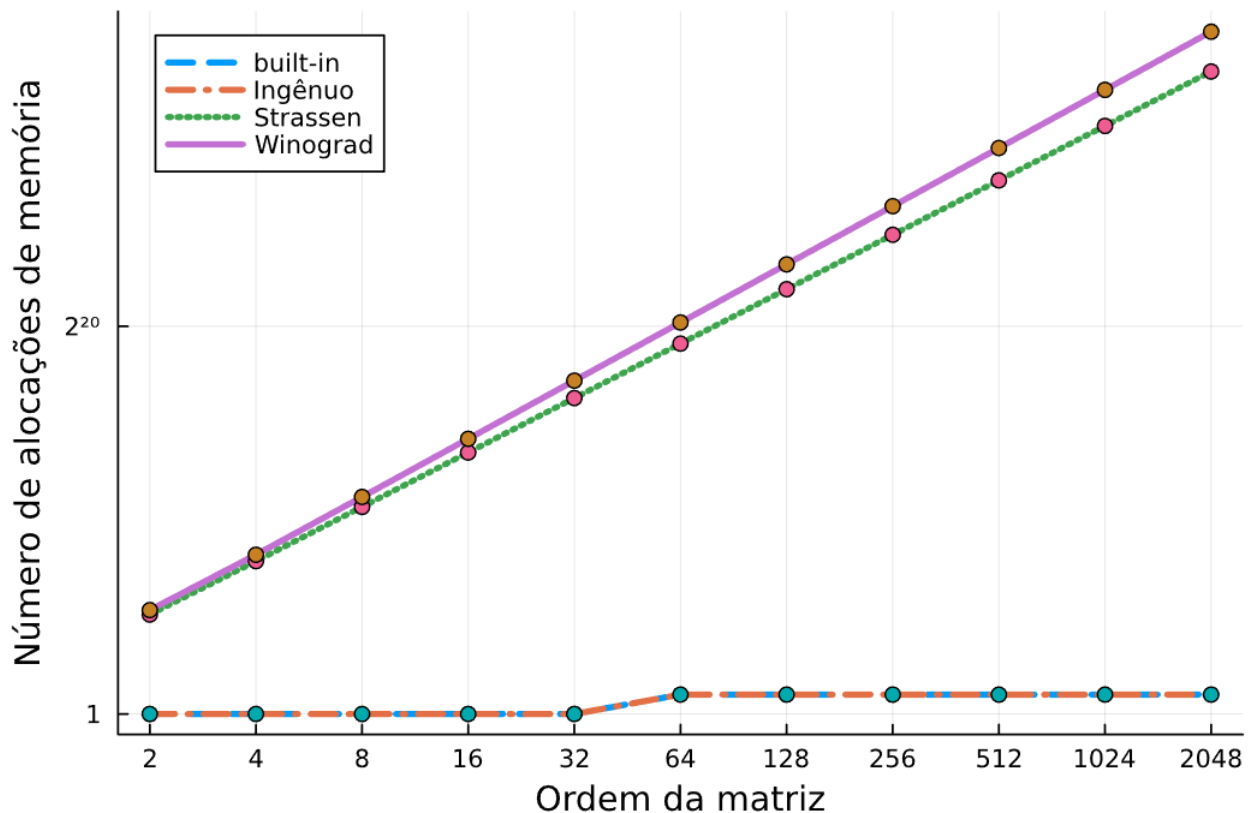


Figura 2: Alocação de memória dos algoritmos *built-in*, *Ingênuo*, *Strassen* e *Strassen-Winograd*.

```

if  $A, B \in \mathbb{R}^{8 \times 8}$  then
    return  $\text{win8x8}(A, B)$ 
else if  $A, B \in \mathbb{R}^{4 \times 4}$  then
    return  $\text{win4x4}(A, B)$ 
else if  $A, B \in \mathbb{R}^{2 \times 2}$  then
    return  $\text{win2x2}(A, B)$ 
else if  $A, B \in \mathbb{R}^{1 \times 1}$  then
    return  $A \times B$ 
end if

```

Neste bloco, win2x2 é a função que calcula o método de *Strassen-Winograd* para matrizes em $\mathbb{R}^{2 \times 2}$, win4x4 para matrizes em $\mathbb{R}^{4 \times 4}$ e assim por diante. Essa modificação será chamada de *Strassen Mod* ou *Winograd Mod*.

Naturalmente é possível parar a recursão para matrizes maiores. A mesma ideia pode ser replicada para o Algoritmo 2, que representa o método de *Strassen*.

Essa estratégia afeta positivamente o tempo de execução e alocação de memória em comparação com os resultados observados nas Figuras 1 e 2, visto que a modificação gera menos subproblemas a serem computados pelos métodos.

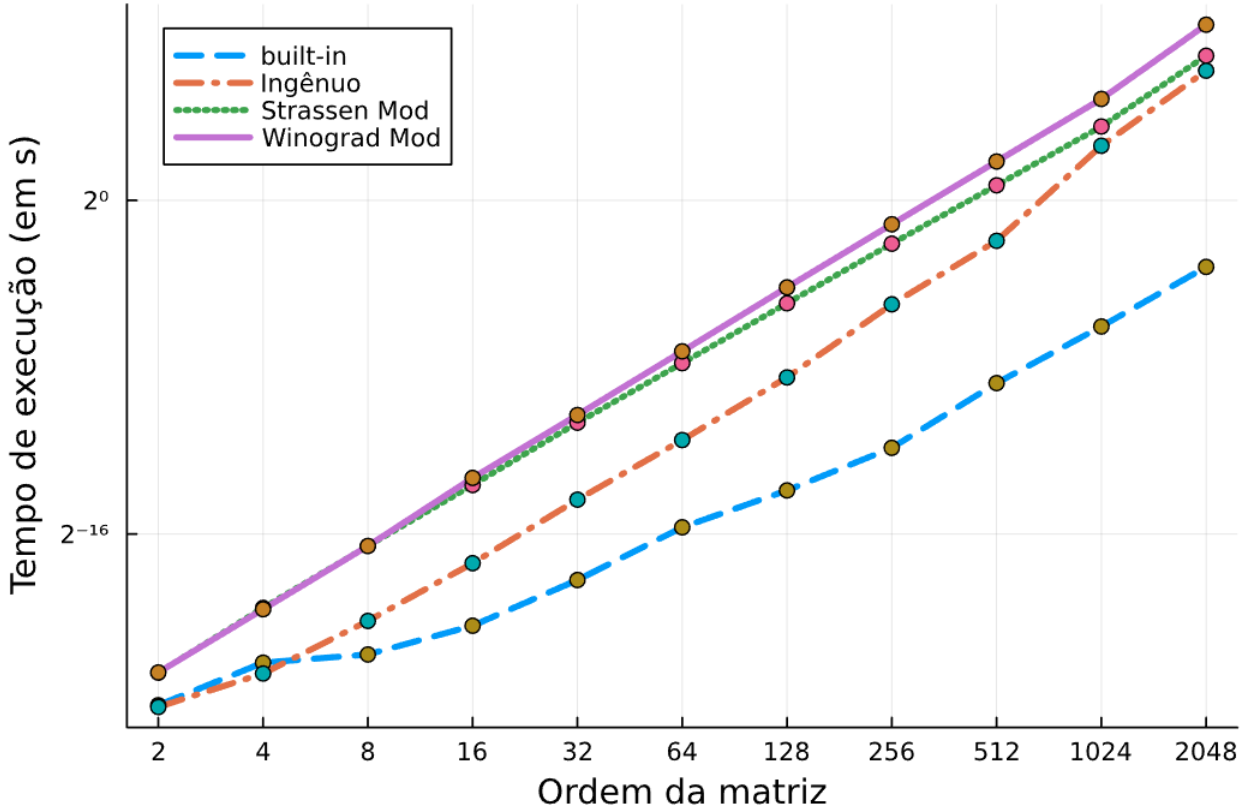


Figura 3: Tempo de execução dos algoritmos *built-in*, *Ingênuo*, *Strassen Mod* e *Winograd Mod*.

O número de alocações de memória da Figura 4 é reduzido em relação à Figura 2, mas ainda é de uma ordem maior que 2^{20} para matrizes de ordem maior ou igual a 128. *Winograd Mod* continua tendo mais alocações considerando que também possui mais chamadas recursivas que *Strassen Mod*.

Ainda, é possível visualizar que o tempo de execução dos métodos na Figura 3 é reduzido em comparação com a Figura 1 e aproximam-se mais do tempo de execução do método ingênuo para matrizes de ordem maior ou igual a 1024, mas ainda não consomem menos tempo de execução que o mesmo.

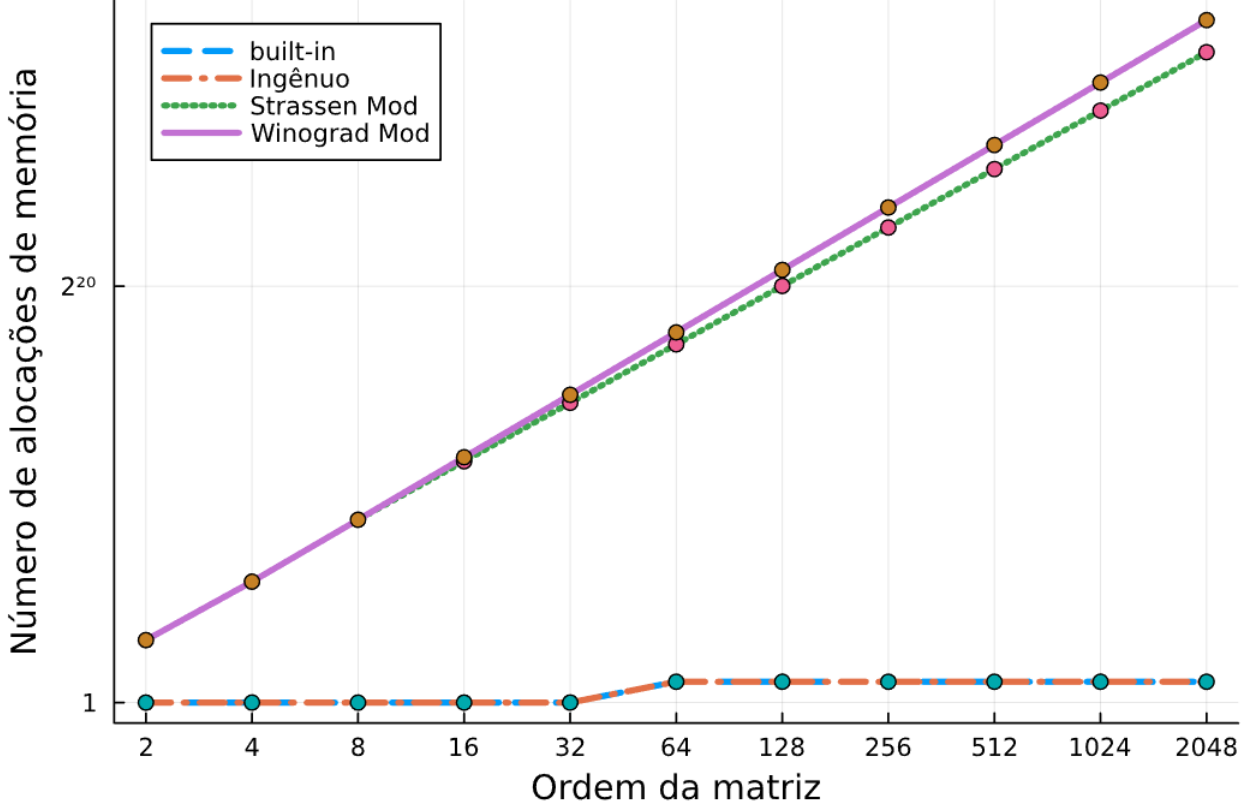


Figura 4: Alocação de memória dos algoritmos *built-in*, *Ingênuo*, *Strassen Mod* e *Winograd Mod*.

3.3 Otimização da alocação de memória

Os autores Boyer et al. [3] apresentam diversas abordagens a fim de reduzir o número de alocações de memória por parte do método de *Strassen-Winograd*. Foram implementadas duas delas:

- *Two Temp Winograd*: são utilizadas duas variáveis temporárias para armazenar as informações necessárias na ordem de operações descrita na Tabela 2;

#:	Operação:	Armazenado em:	#:	Operação:	Armazenado em:
1	$S_3 = A_{11} - A_{21}$	X	12	$P_1 = A_{11}B_{11}$	X
2	$T_3 = B_{22} - B_{12}$	Y	13	$U_2 = P_1 + P_6$	C_{12}
3	$P_7 = S_3T_3$	C_{21}	14	$U_3 = U_2 + P_7$	C_{21}
4	$S_1 = A_{21} + A_{22}$	X	15	$U_4 = U_2 + P_5$	C_{12}
5	$T_1 = B_{12} - B_{11}$	Y	16	$U_7 = U_3 + P_5$	C_{22}
6	$P_5 = S_1T_1$	C_{22}	17	$U_5 = U_4 + P_3$	C_{12}
7	$S_2 = S_1 - A_{11}$	X	18	$T_4 = T_2 - B_{21}$	Y
8	$T_2 = B_{22} - T_1$	Y	19	$P_4 = A_{22}T_4$	C_{11}
9	$P_6 = S_2T_2$	C_{12}	20	$U_6 = U_3 - P_4$	C_{21}
10	$S_4 = A_{12} - S_2$	X	21	$P_2 = A_{12}B_{21}$	C_{11}
11	$P_3 = S_4B_{22}$	C_{11}	22	$U_1 = P_1 + P_2$	C_{11}

Tabela 2: Ordem de operações do algoritmo *Two Temp Winograd* utilizando duas variáveis temporárias, X e Y .

- *In-Place Winograd*: o resultado temporário das operações é armazenado diretamente nas matrizes de entrada A e B e na matriz de saída, C , na ordem de operações descrita na Tabela 3.

#:	Operação:	Armazenado em:	#:	Operação:	Armazenado em:
1	$S_3 = A_{11} - A_{21}$	C_{11}	12	$S_4 = A_{12} - S_2$	A_{22}
2	$S_1 = A_{21} + A_{22}$	A_{21}	13	$P_6 = S_2 T_2$	C_{22}
3	$T_1 = B_{12} - B_{11}$	C_{22}	14	$U_2 = P_1 + P_6$	C_{22}
4	$T_3 = B_{22} - B_{12}$	B_{12}	15	$P_2 = A_{12} B_{21}$	C_{12}
5	$P_7 = S_3 T_3$	C_{21}	16	$U_1 = P_1 + P_2$	C_{11}
6	$S_2 = S_1 - A_{11}$	C_{12}	17	$U_4 = U_2 + P_5$	C_{12}
7	$P_1 = A_{11} B_{11}$	C_{11}	18	$U_3 = U_2 + P_7$	C_{22}
8	$T_2 = B_{22} - T_1$	B_{11}	19	$U_6 = U_3 - P_4$	C_{21}
9	$P_5 = S_1 T_1$	A_{11}	20	$U_7 = U_3 + P_5$	C_{22}
10	$T_4 = T_2 - B_{21}$	C_{22}	21	$P_3 = S_4 B_{22}$	A_{12}
11	$P_4 = A_{22} T_4$	A_{21}	22	$U_5 = U_4 + P_3$	C_{12}

Tabela 3: Ordem de operações do algoritmo *In-Place Winograd*.

Os resultados de tempo de execução e alocação de memória das estratégias vistas acima podem ser observados nas Figuras 5 e 6.

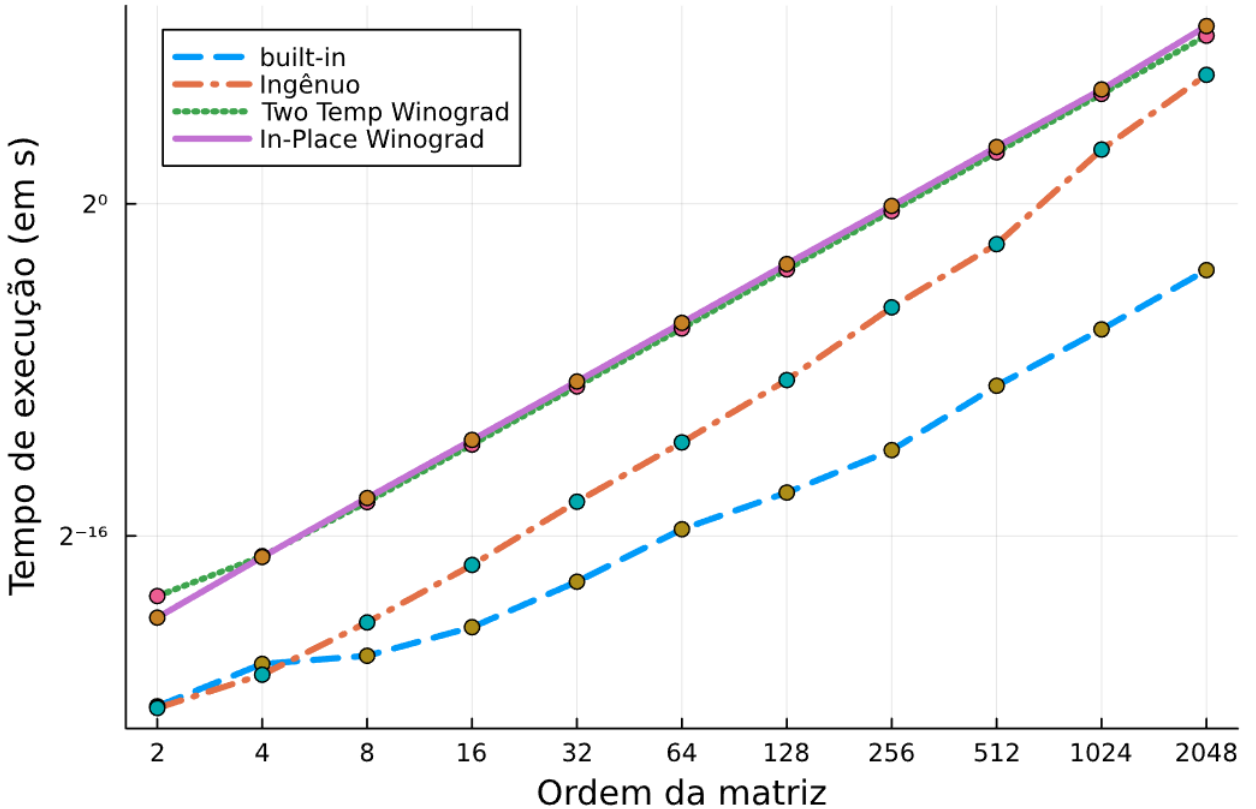


Figura 5: Tempo de execução dos algoritmos *built-in*, *Ingênuo*, *Two Temp Winograd* e *In-Place Winograd*.

O número de alocações dos algoritmos apresentados nas Tabelas 2 e 3, vide Figura 6, é de fato reduzido em comparação com os resultados da Figura 2. Em questão de tempo de execução, vide Figura 5, ambas estratégias possuem tempos similares, mas ainda são mais lentas que o método ingênuo.

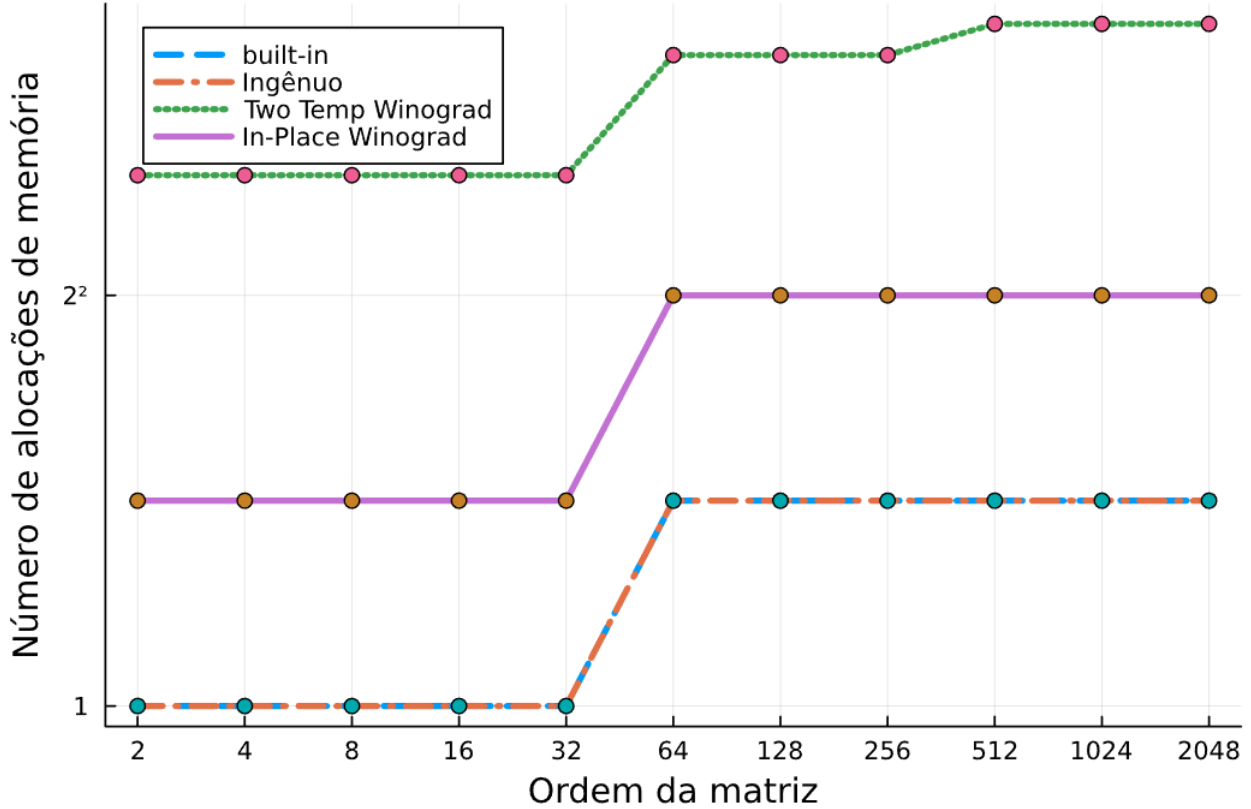


Figura 6: Alocação de memória dos algoritmos *built-in*, *Ingênuo*, *Two Temp Winograd* e *In-Place Winograd*.

3.4 Combinando o método ingênuo com Strassen e Strassen-Winograd

Foi discorrido de maneira teórica e prática por Huss-Lederman et al. [7] que, sendo n a ordem das matrizes de entrada, a partir de $n \leq 12$, torna-se mais viável utilizar o método ingênuo ao invés do método de *Strassen*. Esse valor é chamado de *cutoff criterion*.

Sejam $A_{m \times k}$ e $B_{k \times n}$. Os autores determinam o valor de n para que

$$M(m, k, n) \leq 7M\left(\frac{m}{2}, \frac{k}{2}, \frac{n}{2}\right) + 4G\left(\frac{m}{2}, \frac{k}{2}\right) + 4G\left(\frac{k}{2}, \frac{n}{2}\right) + 7G\left(\frac{m}{2}, \frac{n}{2}\right),$$

em que $M(m, k, n)$ e $G(m, n)$, representam a complexidade aritmética, respectivamente, de se multiplicar as matrizes A e B pelo método ingênuo e de se adicionar ou subtrair matrizes de ordem $m \times n$. Do lado esquerdo da inequação temos a complexidade aritmética do método ingênuo, enquanto que do lado direito foi feita uma modelagem da complexidade aritmética do método de *Strassen*.

Utilizando contagem de operações, pode-se obter:

$$mkn \leq 4(mk + kn + mn) \implies 1 \leq 4\left(\frac{1}{n} + \frac{1}{k} + \frac{1}{m}\right).$$

Esse resultado pode ser generalizado para matrizes $A, B \in \mathbb{R}^{n \times n}$ (daí $n = k = m$), concluindo-se que é mais eficiente utilizar o método ingênuo ao chegar em matrizes de ordem $n \leq 12$ durante a recursão do método de *Strassen*. A mesma estratégia pode ser aplicada ao método de *Strassen-Winograd* visto que ambos possuem a mesma complexidade aritmética [16] e são do tipo *Divide and Conquer*.

Dessa forma, seja 2^k a ordem das matrizes em estudo. Podemos alterar o critério de parada da recursão por um bloco do tipo:

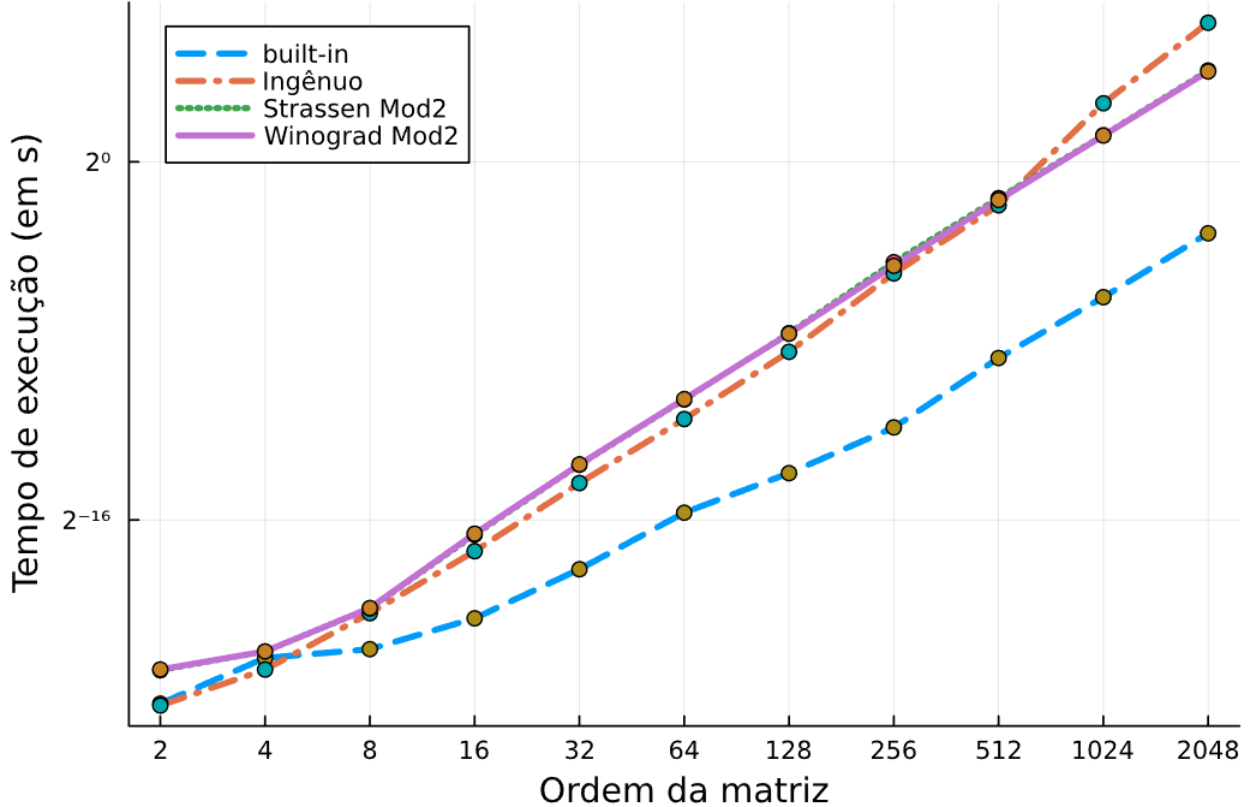


Figura 7: Tempo de execução dos algoritmos *built-in*, *Ingênuo*, *Strassen Mod2* e *Winograd Mod2*.

```

if  $n \leq 12$  then
    return NAIVE(A, B)
end if

```

Os algoritmos de *Strassen* e *Strassen-Winograd* modificados foram denotados por *Strassen Mod2* e *Winograd Mod2*. A estratégia de fato mostra-se adequada, conforme os resultados mostrados nas Figuras 7 e 8. Os resultados para os métodos *Strassen Mod2* e *Winograd Mod2* são quase coincidentes.

Assim, obtém-se dois algoritmos com tempo de execução menor em comparação com o método ingênuo para ordem 2^k das matrizes de entrada suficientemente grande. A modificação feita nesta seção também influenciou na redução de alocação de memória.

3.5 Otimização de memória e $n \leq 12$

Para verificar se é possível otimizar tanto alocação de memória quanto tempo de execução dos algoritmos utilizando as técnicas vistas anteriormente, foi aplicada a modificação da seção anterior nos algoritmos *Two Temp Winograd* e *In-Place Winograd* (modificação chamada, respectivamente, de *Two Temp Winograd Mod* e *In-Place Winograd Mod*).

Os resultados dessa modificação podem ser observados nas Figuras 9 e 10. Os métodos *Two Temp Winograd* e *In-Place Winograd* são quase coincidentes na Figura 9.

A otimização em relação ao tempo de execução dos algoritmos manteve-se similar à mudança apresentada na seção anterior; o número de alocações de memória foi similar em relação aos algoritmos *Two Temp Winograd* e *In-Place Winograd*.

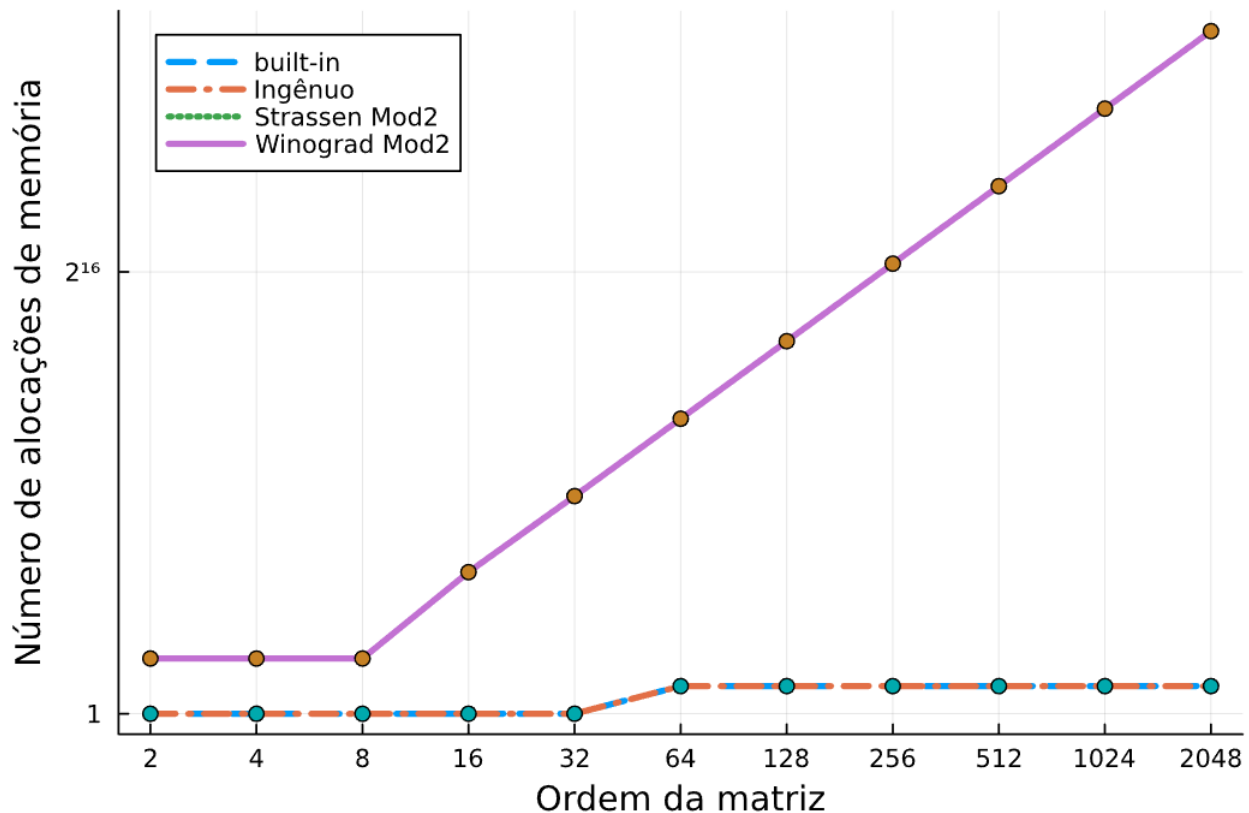


Figura 8: Alocação de memória dos algoritmos *built-in*, *Ingênuo*, *Strassen Mod2* e *Winograd Mod2*.

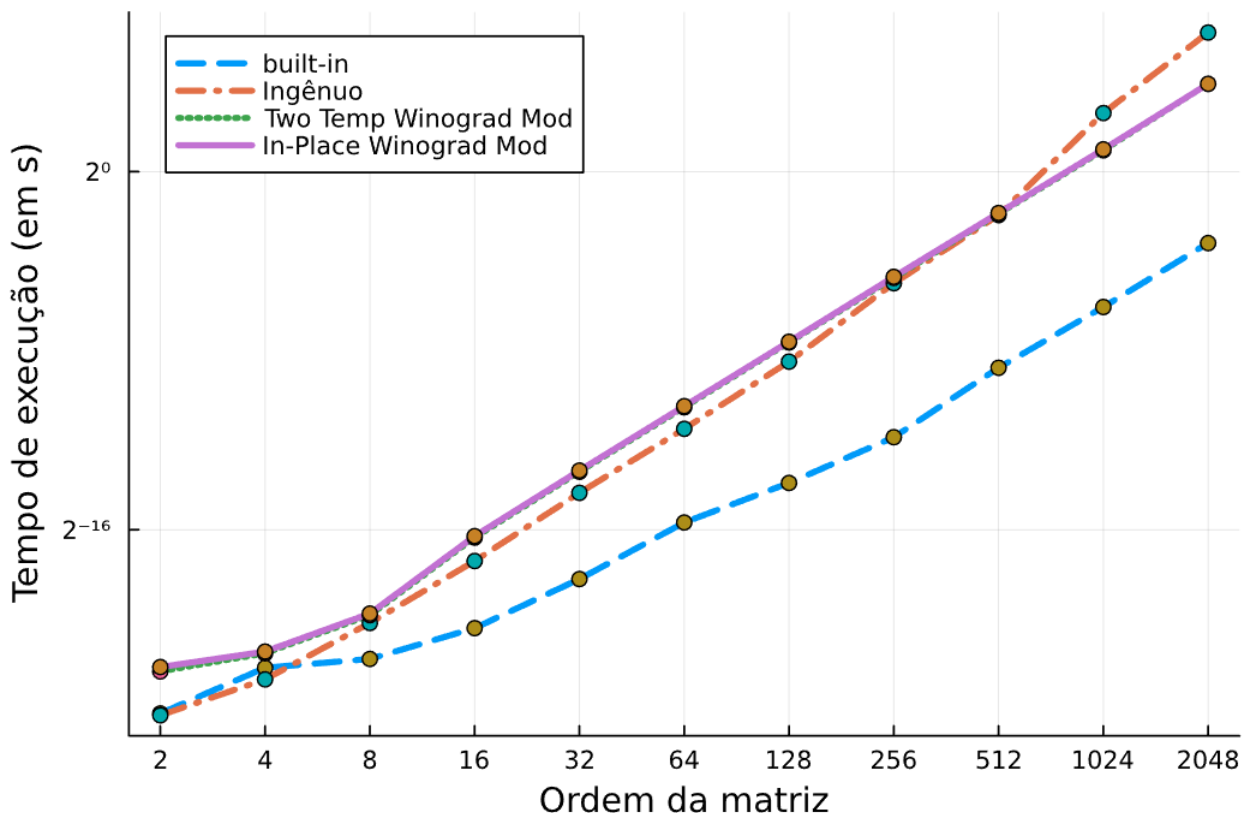


Figura 9: Tempo de execução dos algoritmos *built-in*, *Ingênuo*, *Two Temp Winograd Mod* e *In-Place Winograd Mod*.

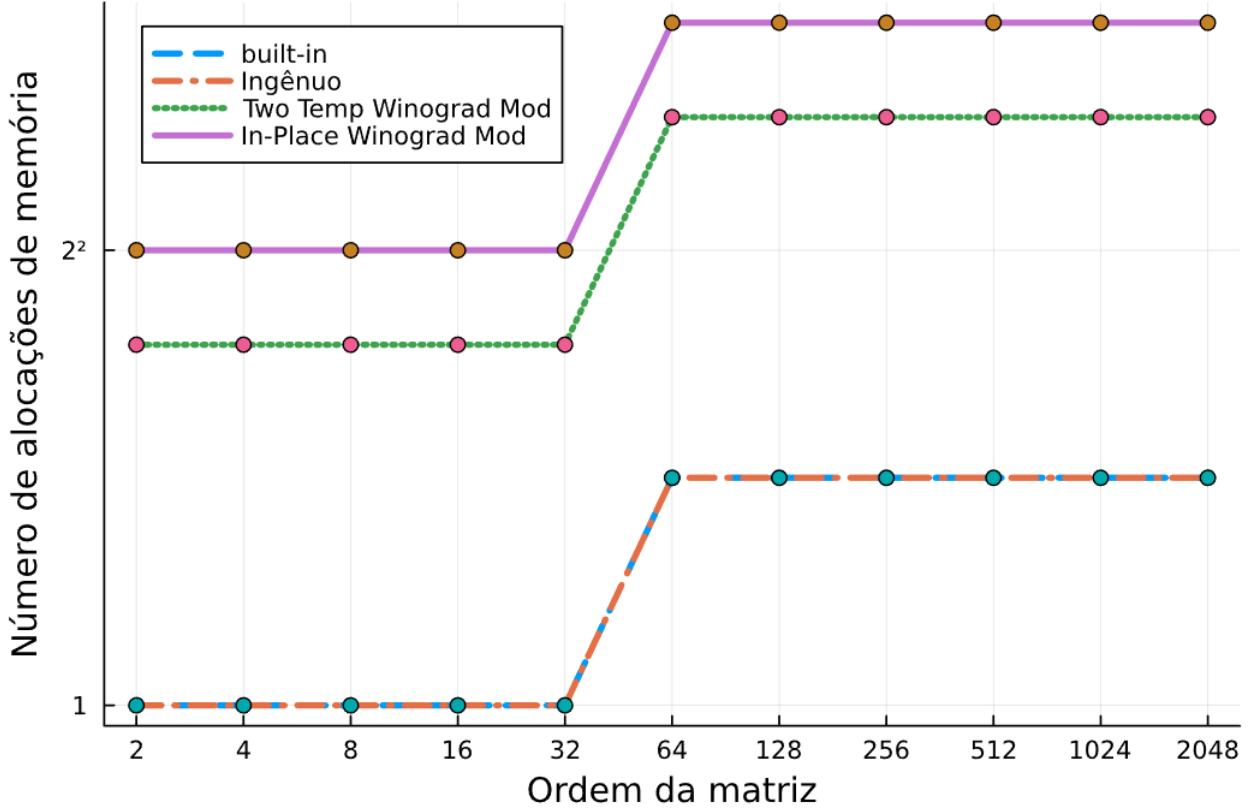


Figura 10: Alocação de memória dos algoritmos *built-in*, *Ingênuo*, *Two Temp Winograd Mod* e *In-Place Winograd Mod*.

4 Conclusão

Como mencionado na introdução, os métodos estudados são obsoletos em termos de complexidade aritmética, porém, são de simples estudo e implementação.

Os métodos de *Strassen* e de *Strassen-Winograd* sem modificações possuem desempenhos ruins em comparação com suas versões modificadas. Ademais, das estratégias exploradas, foi possível reduzir simultaneamente o tempo de execução e alocação de memória dos algoritmos de modo que:

- para matrizes suficientemente grandes o tempo de execução fosse menor que o do método ingênuo;
- a alocação de memória se mantivesse similar ou igual à dos métodos *built-in* e ingênuo.

A otimização simultânea foi possível a partir da combinação de estratégias individuais de otimização de memória, com os métodos *Two Temp Winograd* e *In-Place Winograd*, e de tempo de execução, com a estratégia apresentada por Huss-Lederman et al. [7].

Referências

- [1] Alman, J. e Williams, V. V. (2021). A refined laser method and faster matrix multiplication. In *Proceedings of the 2021 ACM-SIAM Symposium on Discrete Algorithms (SODA)*, p. 522–539. SIAM.
- [2] Bini, D., Capovani, M., Romani, F., e Lotti, G. (1979). $O(n^{2.7799})$ complexity for $n \times n$ approximate matrix multiplication. *Information Processing Letters*, 8(5):234–235.

- [3] Boyer, B., Dumas, J.-G., Pernet, C., e Zhou, W. (2009). Memory efficient scheduling of Strassen-Winograd's matrix multiplication algorithm. *Proceedings of the 2009 international symposium on Symbolic and algebraic computation*.
- [4] Cenk, M. e Hasan, M. A. (2017). On the arithmetic complexity of Strassen-like matrix multiplications. *Journal of Symbolic Computation*, 80:484–501.
- [5] Coppersmith, D. e Winograd, S. (1990). Matrix multiplication via arithmetic progressions. *Journal of Symbolic Computation*, 9(3):251–280. ISSN 0747-7171. URL <https://www.sciencedirect.com/science/article/pii/S0747717108800132>. Computational algebraic complexity editorial.
- [6] Duan, R., Wu, H., e Zhou, R. (2022). Faster matrix multiplication via asymmetric hashing. *arXiv preprint arXiv:2210.10173*.
- [7] Huss-Lederman, S., Jacobson, E. M., Tsao, A., Turnbull, T., e Johnson, J. R. (1996). Implementation of Strassen's algorithm for matrix multiplication. *Proceedings of the 1996 ACM/IEEE conference on Supercomputing*.
- [8] Knuth, D. E. (1997). *The art of computer programming. Volume 2: Seminumerical Algorithms*. Addison-Wesley Professional. ISBN 0201896842.
- [9] Le Gall, F. (2014). Algebraic complexity theory and matrix multiplication. In *Proceedings of the 39th International Symposium on Symbolic and Algebraic Computation*, p. 23, New York, NY, USA. Association for Computing Machinery. ISBN 9781450325011. URL <https://doi.org/10.1145/2608628.2627493>.
- [10] Pan, V. Y. (1978). Strassen's algorithm is not optimal trilinear technique of aggregating, uniting and canceling for constructing fast algorithms for matrix operations. *19th Annual Symposium on Foundations of Computer Science (sfcs 1978)*.
- [11] Schönhage, A. (1981). Partial and total matrix multiplication. *SIAM Journal on Computing*, 10(3):434–455. URL <https://doi.org/10.1137/0210032>.
- [12] Stothers, A. J. (2010). *On the complexity of matrix multiplication*. PhD thesis, University of Edinburgh.
- [13] Strassen, V. (1986). The asymptotic spectrum of tensors and the exponent of matrix multiplication. In *27th Annual Symposium on Foundations of Computer Science (SFCS 1986)*, p. 49–54.
- [14] Strassen, V. (1969). Gaussian elimination is not optimal. *Numerische Mathematik*, 13: 354–356.
- [15] Wikipedia (2023). Computational complexity of matrix multiplication. URL https://en.wikipedia.org/wiki/Computational_complexity_of_matrix_multiplication. Acessado em 13 de junho de 2023.
- [16] Wikipedia (2023). Strassen algorithm. URL https://en.wikipedia.org/wiki/Strassen_algorithm. Acessado em 18 de abril de 2023.
- [17] Williams, V. V. (2012). Multiplying matrices faster than coppersmith-winograd. In *Proceedings of the Forty-Fourth Annual ACM Symposium on Theory of Computing*, p. 887–898, New York, NY, USA. Association for Computing Machinery. ISBN 9781450312455. URL <https://doi.org/10.1145/2213977.2214056>.